

- [5] [J]. J Chromatogr, 1978, 160: 59-71.
- [5] Honda S, Suzuki S, Kakehi K. Analysis of the monosaccharide compositions of total non-dialyzable urinary glycoconjugates by the dithioacetal method [J]. J Chromatogr, 1981, 226: 341-350.
- [6] Needs P W, Selvendran R R. Avoiding oxidative degradation during sodium hydroxide/methyl iodide-mediated carbohydrate methylation in dimethyl sulfoxide [J]. Carbohydr Res, 1993, 245: 1-10.
- [7] Cur W W, Esko T N A, Biliaderis C G, et al. NMR characterization of a 4-O-methyl- $\beta$ -D-glucuronic acid-containing rhamnogalacturonan from yellow mustard (*Sinapis alba L.*) mucilage [J]. Carbohydr Res, 1996, 292: 173-183.
- [8] Pinto G L D, Martinez M, Mendoza J A, et al. Structural study of the polysaccharide isolated from *Spondias purpurea* gum exudate [J]. Carbohydr Res, 1996, 290: 97-103.
- [9] Pinto G L D, Maritza M, Corredor A L D, et al. Chemical and  $^{13}\text{C}$ NMR studies of *Enterolobium cyclocarpum* gum and its degradation products [J]. Phytochemistry, 1994, 37: 1311-1315.
- [10] 方积年. C-13NMR 在多糖结构分析上的应用 [J]. 国外药学(抗生素分册), 1982, 3: 107-112.
- [11] Verbruggen M A, Spronk B A, Schols H A, et al. Structures of enzymically derived oligosaccharides from *sorghum* glucuronaraibinylan [J]. Carbohydr Res, 1998, 306: 265-274.

## 盔瓣耳叶苔化学成分研究

李光耀, 娄红祥, 王 浩

(山东大学药学院, 山东 济南 250012)

**摘要:** 目的 研究耳叶苔科植物盔瓣耳叶苔 *Frullania muscicola* Steph. 的化学成分。方法 用硅胶、Sephadex LH-20 柱层析, 通过理化性质鉴定及光谱数据分析确定化合物的结构。结果 分离到 3 个甾体化合物和 4 个黄酮化合物, 分别鉴定为豆甾醇二十烷酸酯( )、谷甾醇( )、洋芹素-7, 4-二甲醚( )、黄芩素-6, 4-二甲醚( )、6-羟基木犀草素-6, 3-二甲醚( )、黄芩素-6-甲醚( )和胡萝卜苷( )。结论 化合物 I 为新化合物, 其余 6 个化合物均为首次从该植物中分得。

**关键词:** 盔瓣耳叶; 苔藓植物; 豆甾醇二十碳酸酯

中图分类号: R 284.1 文献标识码: A 文章编号: 0253-2670(2001)08-0678-04

### Studies on chemical constituents of *Frullania muscicola*

LI Guang-yao, LOU Hong-xiang, WANG Hao

(School of Pharmacy, Shandong University, Jinan Shandong 250012, China)

**Abstract: Object** To study the chemical constituents of *Frullania muscicola* Steph. (Frullaniaceae).

**Methods** Seven compounds were obtained from the petroleum ether extract of *F. muscicola* by repeated chromatography over silica gel and Sephadex LH-20. Their structures were identified by analysis of their spectral data and chemical reactions. **Results** Three steroids and four flavonoids had been isolated and their structures were identified as: stigmasterol arachidate( ), sitosterol( ), apigenin-7, 4-dimethyl ethers( ), scutellarin-6, 4-dimethyl ethers( ), 6-hydroxy luteolin-6, 3-dimethyl ethers( ), scutellarin-6-methyl ether( ), and daucosterol( ). **Conclusion** Compound I was new and the other six were obtained from this plant for the first time.

**Key words:** *Frullania muscicola* Steph; bryophyte; stigmasterol arachidate

耳叶苔属植物为耳叶苔科含植物种较多的属, 全球约 800 余种, 以热带和亚热带分布为主, 个别种在温带亦有较广泛的分布<sup>[1]</sup>。本属植物盔瓣耳叶苔体小, 红褐色或褐绿色, 平铺丛生于背阴岩面或树干上, 在我国大部分省份山区均有分布, 在泰山民间被称为石花, 捣碎后外敷, 可用于治疗流行性腮腺炎, 有抗菌消炎之功效。为开发我国苔藓资源, 从中寻找生物活

性成分, 我们对其化学成分进行了系统研究。从其石油醚部分分离鉴定出 7 种成分, 分别为豆甾醇二十烷酸酯( )、谷甾醇( )、洋芹素-7, 4-二甲醚( )、黄芩素-6, 4-二甲醚( )、6-羟基木犀草素-6, 3-二甲醚( )、黄芩素-6-甲醚( )和胡萝卜苷( )。其中化合物 I 为新天然产物, 其余 6 个化合物均为首次从该植物中分得。洋芹素、黄芩素(6-羟基洋芹素)以及 6-

收稿日期: 2000-10-22

基金项目: 国家自然科学基金资助课题 No. 39600182

作者简介: 李光耀, 硕士研究生。现为中国科学院上海有机研究所博士研究生。

羟基木犀草素等黄酮苷元的甲基醚共存于同一植物,说明这些化合物从生源上有密切的联系,并对该属植物的化学分类提供一定的参考价值。

**化合物**:白色片状结晶,质谱给出分子离子峰( $m/z$  706  $M^+$ ),结合元素分析,推定分子式为: $C_{49}H_{86}O_2$ 。IR: 1 741, 1 196  $\text{cm}^{-1}$ 强峰显示酯基,NMR  $\delta_H$  1.25 多个氢的强峰及  $\delta_C$  28~30 区一组重叠的亚甲基信号提示脂肪链的存在;DEPT 谱除上述重叠的脂肪链亚甲基外,给出 4 个季碳,10 个次甲基,7 个甲基和另外 9 个亚甲基; $^1\text{H}$ NMR  $\delta$ : 5.02(1H, dd,  $J=8.5, 16.0 \text{ Hz}$ ), 5.15(1H, dd,  $J=8.5, 16.0 \text{ Hz}$ ), 5.37(1H, d,  $J=4.2 \text{ Hz}$ ) 及 $^{13}\text{C}$ NMR  $\delta$ : 122.6(d), 129.3(d), 138.3(d), 139.7(s), 表明该化合物分子中含有两个双键,分别为三取代和二取代,由烯氢的偶合常数  $J=16.0 \text{ Hz}$  可知该二取代双键为反式双键;初步确定该化合物为一甾醇的长链脂肪酸酯。

EIMS 中的强碎片峰  $m/z$ : 394(100) 及其由该碎片裂解产生的碎峰  $m/z$  379, 351, 255, 214, 145 等为分子中甾醇部分的碎片离子峰;而 MS 中  $m/z$ : 295 的碎片和由此产生的一系列减 28 和 14 的碎片峰为脂肪酸部分的碎片,并推定该脂肪酸为二十烷酸,由此确定该化合物为甾醇的二十烷酸酯。与已知化合物豆甾醇十六烷酸酯比较,IR, MS, NMR 数据基本一致<sup>[2]</sup>,而最终确定该化合物结构为豆甾醇二十烷酸酯。

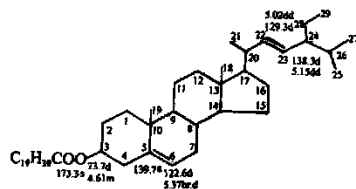


图 1 化合物 1 的化学结构式及主要  $^1\text{H}$ ,  $^{13}\text{C}$ NMR 信号归属

## 1 仪器与材料

熔点用 X4 型显微熔点测仪测定(未校正), IR 谱用 PERKIN-ELMER 783 型红外分光光度计测定, UV 用 HITACHI U-2000 型紫外分光光度计, MS 用 ZAB-2F 型质谱仪, NMR 用 JEOL JNM G-400 型核磁共振仪;层析及重结晶用试剂均为分析纯, 层析用硅胶均为青岛海洋化工厂生产, Sephadex LH-20 (Pharmacia Biotech) 由试剂公司代购;植物材料采自泰山中天门、南天门及后石坞一带海拔 1 000 m 以上高山区,经本校生药学教研室温学森副教授鉴定为盔瓣耳叶苔 *Frullania muscicola* Steph.。

## 2 提取与分离

盔瓣耳叶苔自然干燥、除杂后,粉碎得粗粉(1 700 g),用乙醇回流提取 3 次,每次约 4 h,减压回收溶剂得浸膏 180 g。浸膏用温水混悬后,用石油醚、乙醚、乙酸乙酯分别萃取得 3 个极性部位。石油醚部分(89 g)用硅胶柱层析(120~160 目, 10 cm × 18 cm),石油醚-乙酸乙酯不同比例梯度洗脱,分为 11 个部分。各部分反复用小硅胶柱(石油醚-乙酸乙酯, 苯-丙酮洗脱)和 Sephadex LH-20 (CHCl<sub>3</sub>-MeOH 1:1)反复处理,最后得化合物( Fr. 1, 100) 43 mg, (Fr. 3, 97) 139 mg, (Fr. 4, 97) 393 mg, (Fr. 5, 9) 35 mg, (Fr. 6, 8) 15 mg, (Fr. 6, 8) 12 mg, (Fr. 10, 5) 27 mg。

## 3 结构鉴定

**化合物**:豆甾醇二十烷酸酯,  $C_{49}H_{86}O_2$ , 元素分析: 实验值(%): C, 83.06; H, 12.21; O, 4.51; 计算值(%): C, 83.22; H, 12.27; O, 4.51; 白色片状结晶, mp 96~98 (n-hex); IR  $\nu_{\text{max}}$  (KBr)  $\text{cm}^{-1}$ : 2 916, 2 849, 1 741 (C=O), 1 463, 1 383, 1 368, 1 285, 1 267, 1 242, 1 221, 1 196, 1 178, 971, 961, 724; EI-MS  $m/z$ : 706, 676, 648, 620, 592, 394(100), 382, 351, 255, 145, 97, 83, 69, 57, 43;  $^1\text{H}$ NMR (CDCl<sub>3</sub>, 400 MHz)  $\delta$ : 0.70(3H, s, CH<sub>3</sub>), 0.79~0.90(m, CH<sub>3</sub>), 1.02(3H, t, CH<sub>3</sub>), 1.25(m, CH<sub>2</sub>), 1.40~1.70(m, CH<sub>2</sub>), 5.02(1H, dd,  $J=8.5, 16.0 \text{ Hz}$ ), 5.15(1H, dd,  $J=8.5, 16.0 \text{ Hz}$ ), 5.37(1H, d,  $J=4.2 \text{ Hz}$ );  $^{13}\text{C}$ NMR (CDCl<sub>3</sub>, 100 MHz)  $\delta$ : 173.3(s, C-1), 139.7(s, C-5), 138.3(d, C-23), 129.3(d, C-22), 122.6(d, C-6), 73.6(d, C-3), 56.7(d, C-14), 55.9(d, C-17), 51.2(d, C-9), 50.0(C-24), 42.3(s, C-13), 40.5(d, C-20), 39.7(s), 39.6(t, C-4), 38.1(t, C-12), 37.0(t, C-1), 36.6(s, C-10), 34.7(t, C-7), 31.9(t, C-2; d, C-8; d, C-26), 29.7~29.1(t, CH<sub>2</sub>), 28.9(t, C-16), 27.8(t, C-28), 25.1(t), 22.7(t, C-15), 21.2(q, C-25), 21.0(t, C-11; q, C-21), 19.3(q, C-19), 14.1(q, C-29), 12.3(q, C-27), 12.1(q, C-20), 11.8(q, C-18)。

**化合物**:洋芹素-7,4-二甲醚,  $C_{17}H_{14}O_5$ , 黄色针晶; mp 171~172 (CDCl<sub>3</sub>-MeOH); IR  $\nu_{\text{max}}$  (KBr)  $\text{cm}^{-1}$ : 3 698, 3 088, 3 050, 3 005, 2 989, 2 947, 2 845, 1 668, 1 607, 1 571, 1 510, 1 443, 1 384, 1 339, 1 315, 1 272, 1 196, 1 189, 1 163, 835, 575; EI-MS  $m/z$ : 298(100,  $M^+$ ), 283(2), 279(10),

255(12), 227(2), 166(10, a<sup>+</sup>), 149(5), 137(7), 135(20), 133(20, b<sup>+</sup>), 117(8, b-15), 95(15), 89(13),

69(11); UV  $\lambda_{\text{max}}$ : 见表 1;  $^1\text{H}$ NMR(400 Hz, CDCl<sub>3</sub>)  $\delta$ : 见表 2;  $^{13}\text{C}$ NMR(100 Hz, CDCl<sub>3</sub>)  $\delta$ : 见表 3。

表 1 化合物 ~ 的 UV 光谱数据( $\lambda_{\text{max}}$ : nm)

Diagnostic reagents								
MeOH	327.5	268.5	332.5	276.0	341.0	274.0	335.5	274.0
MeONa	292.5		368.0	275.0	402.5	337.0	392.5	326.0
					266.0		276.0	
AlCl <sub>3</sub>	379.0	340.5	352.0	301.5	366.0	283.5	356.5	301.0
	301.0	277.0			261.0			
AlCl <sub>3</sub> + HCl	379.0	340.5	249.0	298.5	358.0	287.5	351.0	300.0
	301.0	278.0			261.0			
NaOAc	328.5	268.5	341.0	275.5	356.0	275.0	351.5	275.0
NaOAc+ H <sub>3</sub> BO <sub>3</sub>	328.0	268.5	341.0	276.5	341.0	275.0	341.0	277.0

表 2 化合物 ~ 的  $^1\text{H}$ NMR 光谱数据(400 MHz, CDCl<sub>3</sub>)

H				
2	7.80 2H d J= 9.4 Hz	7.99 2H d J= 8.8 Hz	7.61 1H d J= 2.0 Hz	7.92 2H d J= 8.9 Hz
6			7.59 1H dd J= 2.0, 8.0 Hz	
3	6.74 2H d J= 9.4 Hz	7.10 2H d J= 8.8 Hz		7.00 2H d J= 8.9 Hz
5			6.99 1H d J= 8.0 Hz	
3	6.54 1H s	6.66 1H s	6.68 1H s	6.62 1H s
8	6.44 1H d J= 2.3 Hz	6.62 1H s	6.61 1H s	6.61 1H s
6	6.33 1H d J= 2.3 Hz			
OCH <sub>3</sub>	3.86 3H s	3.89 3H s	3.98 3H s	
OCH <sub>3</sub>	3.85 3H s	3.84 3H s	3.86 3H s	3.84 3H s

表 3 化合物 ~ 的  $^{13}\text{C}$ NMR 光谱数据(100 MHz, CDCl<sub>3</sub>)

C				
2	164.31	164.04	165.21	164.86
3	104.56	103.06	103.94	103.15
4	182.67	182.66	183.60	183.13
5	162.41	153.01	153.82	153.56
6	98.34	131.78	129.30	131.80
7	165.71	153.21	154.03	154.18
8	92.88	94.42	94.95	94.45
9	157.97	157.79	157.79	157.79
10	105.81	104.52	105.72	105.30
1	123.79	123.26	123.55	122.68
2	128.32	128.37	110.59	128.87
3	114.77	114.71	149.00	116.43
4	162.88	162.81	151.55	161.70
5	114.77	114.71	116.43	116.43
6	128.32	128.37	121.39	128.87
OCH <sub>3</sub>	56.07	60.00	60.76	60.30
OCH <sub>3</sub>	55.81	55.45	56.65	

化合物 : 黄芩素-6,4'-二甲醚, C<sub>17</sub>H<sub>14</sub>O<sub>6</sub>, 黄色针晶, mp 223 ~ 224 (CDCl<sub>3</sub>-MeOH); IR  $\nu_{\text{max}}$  (KBr) cm<sup>-1</sup>: 3 331, 3 058, 3 017, 2 987, 2 845, 1 662, 1 606, 1 515, 1 473, 1 432, 1 358, 1 275, 1 250, 1 187, 1 080, 1 022, 832; EI-MS m/z: 314 (100, M<sup>+</sup>), 299(63, M<sup>+</sup> - 15), 296(40, M<sup>+</sup> - 18), 285(8), 271(40, M<sup>+</sup> - 43), 167(15, a<sup>+</sup> - 15), 133(25, b<sup>+</sup> + 1), 118(7, b<sup>+</sup> - 15), 89(10), 77(5), 69(70), 43(3); UV  $\lambda_{\text{max}}$ : 见表 1;  $^1\text{H}$ NMR(400 Hz, CDCl<sub>3</sub>)  $\delta$ : 见表 2;  $^{13}\text{C}$ NMR(100 Hz, CDCl<sub>3</sub>)  $\delta$ : 见表 3, 与已知化合物波谱数据<sup>[5]</sup>比较确定该化合物结构。

化合物 : 6-羟基木犀草素-6,3'-二甲醚, C<sub>17</sub>

H<sub>14</sub>O<sub>7</sub>, 黄色针晶, mp 232 ~ 234 (MeOH); IR  $\nu_{\text{max}}$  (KBr) cm<sup>-1</sup>: 3 420, 3 087, 2 995, 2 968, 2 935, 1 662, 1 619, 1 577, 1 512, 1 494, 1 459, 1 431, 1 371, 1 304, 1 275, 1 211, 1 162, 846, 706; EI-MS m/z: 330(100, M<sup>+</sup>), 315(66, M<sup>+</sup> - 15), 312(40, M<sup>+</sup> - 18), 301(5), 287(37, M<sup>+</sup> - 43), 167(18, a<sup>+</sup> - 15), 149(20, b<sup>+</sup> + 1), 139(15), 122(10), 105(8), 89(5), 77(3), 69(80), 43(7); UV  $\lambda_{\text{max}}$ : 见表 1;  $^1\text{H}$ NMR(400 Hz, CDCl<sub>3</sub>)  $\delta$ : 见表 2;  $^{13}\text{C}$ NMR(100 Hz, CDCl<sub>3</sub>)  $\delta$ : 见表 3, 与已知化合物 jaceasilin<sup>[5]</sup> 基本一致。

化合物 : 黄芩素-6-二甲醚, C<sub>16</sub>H<sub>12</sub>O<sub>6</sub>, 黄色粉末, mp 280 ~ 284 (MeOH); IR  $\nu_{\text{max}}$  (KBr) cm<sup>-1</sup>: 3 337, 3 088, 3 020, 2 942, 2 837, 1 648, 1 610, 1 582, 1 560, 1 492, 1 371, 1 296, 1 286, 1 252, 1 178, 1 158, 1 111, 1 096, 829, 597, 569; EI-MS m/z: 300(92, M<sup>+</sup>), 285(52, M<sup>+</sup> - 15), 282(35, M<sup>+</sup> - 18), 270(10), 257(33, M<sup>+</sup> - 43), 167(15, a<sup>+</sup> - 15), 139(15), 119(24), 118(20, b<sup>+</sup> - 15), 89(7), 69(100); UV  $\lambda_{\text{max}}$ : 见表 1;  $^1\text{H}$ NMR(400 Hz, CDCl<sub>3</sub>)  $\delta$ : 见表 2;  $^{13}\text{C}$ NMR(100 Hz, CDCl<sub>3</sub>)  $\delta$ : 见表 3。

化合物 :  $\beta$ -谷甾醇, 无色针状结晶, mp 134 ~ 136 (MeOH), Rf 值, IR 均与已知化合物一致。

**化合物**：胡萝卜苷，白色粉末，mp 304 ~ 309 (CDCl<sub>3</sub>-MeOH)，Rf 值，IR 均与已知化合物一致。

致谢：植物种属由山东医科大学学生药教研室温学森博士鉴定，核磁共振波谱由军事医学科学院仪器测试中心田建广博士代测，质谱由中国医学科学院药物研究所国家药物代谢中心测试，IR, UV 由本校中心实验室测试。

#### 参考文献：

- [1] 赵遵田, 曹同. 山东苔藓植物志[M]. 济南: 山东科学技术出版社, 1998.
- [2] 王风强, 姜红祥. 无纹紫苔化学成分研究[J]. 药学学报, 2000, 35(8): 587-591.
- [3] 丛浦珠. 质谱学在天然有机化学中的应用[M]. 北京: 科学出版社, 1987.
- [4] 中国科学院上海药物研究所植物化学研究室编译. 黄酮类化合物鉴定手册[M]. 北京: 科学出版社, 1981.
- [5] Angrawal P K. Studies in Organic Chemistry 39, Carbon-13 NMR of Flavonoids [M]. New York: Elsevier, 1989.

## 地涌金莲的化学成分

杨维力, 田军, 白冰如, 官家发, 丁生

(中国科学院成都生物研究所, 四川 成都 610041)

**摘要:** 目的 研究地涌金莲 *Musella lasiocarpa* 全草中的化学成分。方法 用甲醇室温浸提, 溶剂萃取分段, 硅胶柱层析分离纯化, 波谱分析鉴定结构, 体外抑菌实验测试抗菌活性。结果 从该植物全草中分离出 4 个 phenylphenalenone 型化合物, 通过波谱分析将其分别鉴定为: 2-hydroxy-9-(4-hydroxyphenyl)-phenalen-1-one ( )、2-methoxy-9-(4-hydroxyphenyl)-phenalen-1-one ( )、2-hydroxy-9-phenylphenalen-1-one ( ) 和 2-methoxy-9-phenylphenalen-1-one ( )。抗菌实验表明, 化合物 对蜡状芽孢杆菌(*Bacillus cereus*)的生长具有抑制作用。此外从该植物中还获得豆甾醇、豆甾醇葡萄糖苷和 1 个长链脂肪酸的混合物。结论 4 个 phenylphenalenone 型化合物为首次从该植物中分离得到。

**关键词:** 地涌金莲; phenylphenalenone; 抗菌活性

中图分类号: R284.1 文献标识码: A 文章编号: 0253-2670(2001)08-0681-03

### Chemical constituents of *Musella lasiocarpa*

YANG Wei-li, TIAN Jun, BAI Bing-tu, GUAN Jia-fa, DING Li-sheng

(Chengdu Institute of Biology, Chinese Academy of Sciences, Chengdu Sichuan 610041, China)

**Key words:** *Musella lasiocarpa* (Fr.) C. Y. Wu ex H. W. Li; phenylphenalenone; antibacterial activity

**地涌金莲** *Musella lasiocarpa* (Fr.) C. Y. Wu ex H. W. Li 属于芭蕉科(Musaceae)地涌金莲属, 为我国特有的单种属植物, 主要分布于云南省中西部。其花可入药, 有收敛止血作用, 可用于治疗白带、崩漏及大肠下血, 茎汁可用于解酒及草乌中毒<sup>[1]</sup>。最近秦波等<sup>[2,3]</sup>报道了昆明产该新鲜植物的挥发油成分和一些常见的化学成分。本文报道我们从重庆南川金佛山产该植物全草中分离和鉴定的 4 个 phenylphenalenone 类化合物, 它们均为首次从该植物中分离得到。文献报道这类化合物有的具有抗菌活性<sup>[4]</sup>, 我们对化合物 ~ 进行抗菌活性测试, 发现化合物 对蜡状芽孢杆菌(*Bacillus cereus*)的生

长具有抑制作用。此外, 我们从该植物中还分离得到豆甾醇( )、豆甾醇葡萄糖苷( )以及长链脂肪酸的混合物( )。

### 1 仪器及材料

NMR 用 Bruker AP-300 和 DRX-500 型仪测定, TMS 为内标。MS 用 VG Auto Spec-3000 型仪测定。薄层层析和柱层析用硅胶均为青岛海洋化工厂产品。地涌金莲采自重庆南川金佛山, 由重庆市药物种植研究所刘正宇老师鉴定。

### 2 提取分离

取地涌金莲全草(干重 5.3 kg)粉碎, 于室温下用甲醇浸提 3 次, 合并提取液, 减压回收甲醇得浸膏

收稿日期: 2000-05-26

基金项目: 中国科学院生物科学与技术研究特别支持项目(STZ-97-3-08)

作者简介: 杨维力(1975-), 女, 四川省什邡县人, 2000 年 6 月获硕士学位, 现为中国科学院成都生物研究所实习研究员。E-mail: ywl335337@ hotmail. com

\* 联系人, Tel: (028)-5223843